

Original Article

Effect of Serum Starvation and Full Confluence on Cell Cycle Synchronization and Apoptosis of Goat Dermal Fibroblast

Azam Dalman, M.Sc.¹, Poopak Eftekhari Yazdi, Ph.D.^{1*}, Mojtaba Rezazadeh Valojerdi, Ph.D.¹, Abdolhossein Shahverdi, Ph.D.¹, Hamid Gourabi, Ph.D.², Rahman Fakheri, B.Sc.¹, Ehsan Janzamin, B.Sc.³, Fatemeh Sadeghian, M.Sc.⁴

1. Embryology Department, Royan Institute for Reproductive Biomedicine, ACECR, Tehran, Iran

2. Genetic Department, Royan Institute for Reproductive Biomedicine, ACECR, Tehran, Iran

3. Stem Cells and Developmental Biology Department, Royan Institute for Stem Cell Biology and Technology, ACECR, Tehran, Iran

4. Research and Clinical Center for Infertility, Shahid Sadoughi University of Medical Science, Yazd, Iran

* Corresponding Address: P.O.Box: 19395-4644, Embryology Department, Royan Institute for Reproductive Biomedicine, ACECR, Tehran, Iran
Email: eftekhari@royaninsitute.org

Received: 3/Sep/2008, Accepted: 14/Dec/2008

Abstract

Objective: We examine the effects of serum starvation, culture to confluence, and full confluence on cell cycle characteristics and apoptosis of goat dermal fibroblast cells.

Materials and Methods: Fibroblast cells were obtained from the ear of a female goat, 1.5 years of age. The following experimental groups were analyzed for fibroblast cells: 1. cells confluent for 72h, 2. cells starved for 48 and 72h.

Results: Analysis of cell cycle distribution by flow cytometry showed that 4.56, 51.88 of normal cycling cells were at the G0, G1 phases, respectively. Serum starvation for 48 and 72h arrested cells at the G0/G1 phase ($p<0.05$). 91.53% of full confluent cells were at G0/G1 stage, but in contrast to the serum starved group, this high percentage of G0/G1 cells was mainly associated with G1 cells. When DNA synthesis was detected by BrdU incorporation 19.80% of normally growing cells were in S phase. The percentage of cells in S phase changed significantly among 48 and 72h serum starvation and full confluent groups. Under normal culture conditions, 6.67% of cells underwent apoptosis. Serum starvation for 48 and 72 hours caused early apoptosis in 8.91 and 39.83 of cells, respectively. Treatment with full confluence for 72 hours did not increase the number of apoptotic cell significantly (6.39%). Serum starvation for 72 hours increased early apoptosis significantly ($p<0.05$).

Conclusion: Goat dermal fibroblasts at various stages of the cell cycle were effectively synchronized; that could be beneficial for somatic cell nuclear transfer in this species. Although serum starvation for 72 hours effectively arrested cells at the G0/G1 stages, it significantly increased cell apoptosis.

Keywords: Cell Cycle, Synchronization, Serum Starve, Apoptosis, Fibroblast

Yakhteh Medical Journal, Vol 11, No 2, Summer 2009, Pages: 212-219

تأثیر کاهش سرم و تراکم کامل سلولی بر همزمانسازی سیکل سلولی و وقوع آپوپتوز در فیربولاستهای درمی بز

اعظم دالمن M.Sc.^{۱*}, پوپک افخاری یزدی Ph.D.^۲, مجتبی رضازاده ولوجردی Ph.D.^۳, عبدالحسین شاهوردی Ph.D.^۴, حمید کورابی Ph.D.^۵, رحمان فاخری B.Sc.^۶, احسان جان زمین B.Sc.^۷, فاطمه صادقیان M.Sc.^۸

۱. پژوهشکده رویان، مرکز تحقیقات پزشکی تولیدمثل، گروه جنین‌شناسی، تهران، ایران

۲. پژوهشکده رویان، مرکز تحقیقات پزشکی تولیدمثل، گروه ژنتیک، تهران، ایران

۳. پژوهشکده رویان، مرکز تحقیقات علوم سلولی جهاد دانشکاهی، گروه سلول‌های بنیادی و زیست‌شناسی تکوینی، تهران، ایران
۴. مرکز تحقیقاتی و درمان ناباروری، دانشگاه علوم پزشکی شهید صدوقی یزد، یزد، ایران

* آدرس نویسنده مسئول: تهران، ایران، صندوق پستی: ۱۹۳۹۵-۴۶۴۴

پست الکترونیک: Email: eftekhari@royaninstitute.org

دریافت مقاله: ۸۷/۶/۱۳، پذیرش مقاله: ۸۷/۹/۳۴

چکیده

* هدف: تاثیر کاهش سرم، کشت تراکم سلولی (Confluence) و تراکم کامل سلولی (Full Cell Confluence) بر همزمانی سیکل سلولی و آپوپتوز سلول‌های فیربولاست درمی بز.

* مواد و روش‌ها: سلول‌های فیربولاست از گوش بیک بز ماده ۱/۵ ساله به دست آمد. گروه‌های آزمایشی در این مطالعه شامل کشت سلول‌ها تا مرحله Confluent، کشت سلول‌های Confluent برای ۷۲ ساعت و کاهش سرم سلول‌ها به مدت ۴۸ و ۷۲ ساعت می‌باشد.

* یافته‌ها: آنالیز سیکل سلولی توسط فلوسایتومتری نشان داد که ۴۸ و ۷۲ ساعت کاهش سرم منجر به توقف چشم‌گیر سلول‌ها در ۹۱/۵۳ درصد سلول‌های تراکم کامل در مراحل G0/G1 قرار داشتند که بر عکس تیمار کاهش سرم در صد بیشتری از سلول‌ها در مرحله G1 بودند. زمانی که سنتر DNA توسط BrdU بررسی شد، ۱۹/۸۰ درصد از سلول‌های در حال رشد نرمال در فاز S بودند. در گروه‌های آزمایشی تغییر چشم‌گیری در درصد سلول‌های موجود در فاز S مشاهده شد ($p < 0.05$). تحت شرایط کشت نرمال ۶/۶۷ درصد سلول‌ها آپوپتوز اویله را نشان دادند. تیمار تراکم کامل سلولی، آپوپتوز را در سلول‌ها افزایش نداد. گروه سرم افزایش معنی‌داری را در آپوپتوز اویله نسبت به سایر گروه‌ها نشان داد ($p < 0.05$).

* نتیجه‌گیری: نتایج نشان داد که فیربولاستهای درمی بز به صورت مؤثر با استفاده از تیمارهای کاهش سرم و تراکم کامل سلولی در مراحل G0/G1 سیکل سلولی همزمان شدند که برای انتقال هسته سلول سوماتیک در این گونه مفید می‌باشد. کاهش سرم به مدت ۷۲ ساعت سلول‌ها را به صورت مؤثر در مرحله G0/G1 متوقف کرد ولی آپوپتوز را به صورت چشمگیر افزایش داد.

کلیدواژگان: سیکل سلولی، همزمانسازی، کاهش سرم، آپوپتوزیس، فیربولاست

فصلنامه پژوهشی یاخته، سال یازدهم، شماره ۲، تابستان ۸۸، صفحات: ۲۱۶-۲۱۹

مقدمه

هسته دهنده و سیتوپلاسم گیرنده بسیار مهم است (۳). مشخص شده است زمانی که از هسته مرحله G0/G1 برای تخمک‌های متافاز II زمانی که از هسته مرحله G0/G1 برای تخمک‌های شیمیابی می‌تواند مراحل تکوین جنین‌های بازسازی شده بهبود می‌یابد زیرا از همانندسازی اضافی DNA و پلولیتی نامناسب جلوگیری می‌کند (۴، ۵). روش‌های زیادی از جمله کاهش سرم، مهار تماسی و تیمارهای شیمیابی می‌تواند مراحل سیکل سلولی سلول‌های کشت شده را دست کاری کند. کاهش سرم یک روش معمول برای توقف سلول در مرحله G0/G1 سیکل سلولی است (۶، ۷). این روش برای همزمانی سیکل سلولی سلول‌های دهنده در فرایند انتقال هسته برای تولید گوسفندهای کلون شده دالی به کار رفته بود (۱). مهار تماسی نیز راه دیگری برای حرکت سلول‌ها به سمت فاز G0/G1 در پاسخ به ازدحام بیش از حد جمعیت سلولی می‌باشد (۸). در این روش به علت کمبود فضاء، تقسیم سلول متوقف می‌شود. اگرچه در بسیاری از موارد کاهش سرم برای همزمانسازی به کار برده می‌شود

-Somatic Cell Nuclear Trans (SCNT) (fer) به صورت موفق در تولید فرزندان کلون شده بعضی از گونه‌های پستانداران به کار رفته است؛ هر چند میزان موفقیت کلونینگ در همه گونه‌ها به شدت پایین بوده و معمولاً از سه در صد تجاوز نمی‌کند (۱). فاکتورهای زیادی بازده کلونینگ را تحت تأثیر قرار می‌دهد. یکی از این فاکتورها، مرحله سیکل سلولی هسته دهنده است که نقش مهمی در تکوین جنین حاصل از انتقال هسته (Nuclear Transfer; NT) و به دست آوردن فرزندان زنده دارد (۲). ثابت شده است هنگامی که یک هسته از سلولی کاملاً تمایز یافته، به داخل یک تخمک بدون هسته انتقال می‌یابد، DNA با برنامه‌ریزی مجدد تکوین جنین‌های بازسازی شده را تا مرحله پایانی حمایت می‌کند (۱). برنامه‌ریزی مجدد هسته انتقال یافته به داخل تخمک‌ها تحت تأثیر فاکتورهای متعددی است که از میان آنها همزمانی سیکل سلولی بین

سانتی متر حاوی DMEM همراه با ۱۵ درصد FBS و یک درصد آنتی بیوتیک قرار داده شد. بعد از ۲-۳ روز کشت یا بعد از رسیدن Confluence سلول‌ها تریپسینه شده و با ۱۰ درصد DMSO (Dimethyl Sulfoxide, Sigma) در محیط کشت فریز شده و در نیتروژن مایع نگهداری شدند. فیروblast‌های فریز شده در دمای ۳۷ درجه سانتی گراد ذوب و در محیط DMEM همراه با ۱۵ درصد ۳۷ درجه سانتی گراد ذوب و در محیط DMEM همراه با ۵ درصد CO_2 کشت شدند. سرم در انکوپاتور ۳۸ درجه سانتی گراد با ۵ درصد CO_2 کشت شدند. سلول‌هایی که در این آزمایش به کار رفته در پاساژهای ۵ تا ۶ بودند.

همزمانی سیکل سلولی

پس از رسیدن سلول‌ها به ۸۰-۹۰ درصد تراکم، در گروه کاهش سرم، محیط کشت حاوی ۱۵ درصد سرم با محیط کشت حاوی ۰/۵ درصد سرم تعویض گردید و سلول‌ها به مدت ۴۸ و ۷۲ ساعت در این محیط کشت داده شدند. در گروه تراکم کامل سلولی، سلول‌ها در همان محیط ۱۵ درصد سرم به مدت ۷۲ ساعت کشت یافته‌اند. سپس این سلول‌ها تریپسینه شده و برای آنالیز سیکل سلولی آماده شدند. فیروblast‌های در حال تقسیم با ۶۰-۷۰ درصد تراکم به عنوان گروه کنترل به کار برده شد.

تعیین سیکل سلولی با فلوسایتوومتر

به منظور تعیین مراحل مختلف سیکل سلولی، محتوای DNA با استفاده از Propidium Iodide (PI) رنگ‌آمیزی شد و آنالیز فلوسایتوومتری توسط دستگاه فلوسایتوومتر کالیبور (FACS Calibur, Becton Dickinson, USA; FACS) انجام گرفت. فیروblast‌های درمی کشت شده با استفاده از تریپسین-EDTA جدا و در DMEM با غلظت 1×10^6 cells/ml دوباره مخلوط شدند. بعد از سانتریفیوژ در rpm ۱۲۰۰ برای ۵ دقیقه، ۳ میلی لیتر اتانول ۷۰ درصد در دمای ۴ درجه سانتی گراد به آهستگی به سلول‌ها اضافه شد. برای جلوگیری از به هم چسبیدن سلول‌ها، این مرحله بر روی شیکر انجام گرفت. پس از ۲۰ دقیقه فیکسایشون، سلول‌ها با PBS شسته شدند سپس در تریتون X-10/۰ درصد (Sigma) در درجه حرارت اتاق به مدت ۱۰ دقیقه انکوبه شدند. سپس سلول‌ها با مخلوطی از $\mu\text{g}/\text{ml}$ PI و ۳۰ ml Propidium Iodide, Sigma (Propidium Iodide, Sigma) در درجه حرارت ۳۸ درجه سانتی گراد با ۰/۰۰۵ میلی لیتر RNase A (Sigma) در دمای ۳۸ درجه سانتی گراد به مدت نیم ساعت رنگ‌آمیزی شدند. سلول‌ها در یک میزان 2×10^6 cells/s آنالیز شدند.

برای جداسازی مراحل G0 و G1 سیکل سلولی از رنگ‌آمیزی (Fluorescein Isothiocyanate, Sigma) FITC دو تایی PI و استفاده شد. در این آزمایش، سلول‌ها به مدت نیم ساعت در دمای ۳۸ درجه سانتی گراد با ۰/۰۰۵ میکرو گرم بر میلی لیتر FITC ۳۰ میلی گرم بر میلی لیتر RNase A در دمای ۳۸ درجه سانتی گراد به مدت نیم ساعت رنگ‌آمیزی شدند. سلول‌ها در یک میزان 2×10^6 cells/s آنالیز شدند.

با استفاده از دستگاه فلوسایتوومتر ۱۰۰۰ سلول برای هر نمونه ضبط شد. در صد سلول‌ها در فازهای مختلف سیکل سلولی با استفاده از نرم افزار Win MDI version ۲/۹ محاسبه شد.

ارزیابی میزان تکثیر سلولی

به منظور ارزیابی میزان همانندسازی DNA (مرحله S سیکل سلولی) از کیت تشخیص تکثیر سلول (5-Bromo-2'-deoxy-(uridine; BrdU) استفاده شد. سلول‌ها به مدت ۲۴ ساعت با ۱ میکرومتر

ولی هنوز آشکار نیست که چنین تیماری در انتقال هسته ضروری باشد. برای مثال، گیبلی و همکاران (۹) با استفاده از سلول‌های در حال رشد، گاوهایی را تولید کردند و پیشنهاد دادند که هم‌زمانی سلول در مرحله G0 با استفاده از کاهش سرم ضروری نیست. مطالعات گذشته از انتقال هسته گاوهای نشان داده است که هر دو سلول‌های سوماتیک خاموشی و در حال تکثیر قادر به برنامه‌ریزی مجدد پس از انتقال هسته بوده و موجب تولید فرزندان زنده می‌شود (۱۰، ۱۱).

مارکرهای مولکولی اختصاصی برای تشخیص مرحله G0 سیکل سلولی وجود ندارد. بنابراین نمی‌توان با اطمینان گفت که سلول‌های به کار برده شده در انتقال هسته سلول سوماتیک واقعاً در مرحله G0 سیکل سلولی است یا خیر (۱۱)؛ معمولاً مارکرهای مولکولی از قبیل PCNA (Proliferating Cell Nuclear Antigen) (۱۲)، E2F-p130 (۱۳) و FITC (Fluorescein Isothiocyanate) (۱۴) برای شناسایی سلول‌ها در وضعیت خاموشی استفاده می‌شود. ثابت شده است کاهش یا برداشت سرم، موجب القا آپوپتوز در لاین‌های سلولی انسان، موش (۱۵) و هم‌چنین فیروblast‌های جینی خوک (۱۶) می‌شود. هر چند هنوز در مورد آپوپتوز گشته شده است. اویله سلول‌های گونه‌های اهلی مطالب زیادی در دست نیست (۱۷). بر اساس ملاک بیوشیمیابی و مورفوژیکی، چندین مرحله آپوپتوز تراکم کروماتین، قطعه قطعه شدن DNA و تشکیل اجسام آپوپوتیک در طی فاز نهایی آپوپتوز مشخص می‌شود (۱۹).

بنابراین در مطالعه حاضر برای به دست آوردن روش مناسب همزمانی سیکل سلولی، کارایی تیمار کاهش سرم و تراکم کامل سلولی برای تنظیم مرحله سیکل سلولی و تاثیر آنها بر آپوپتوز فیروblast‌های پوست بز مورد بررسی قرار گرفت.

مواد و روش‌ها

کشت سلول

گوش یک بز ماده ۱/۵ ساله قبل از اینکه یک تکه پوست بریده شود، و با الکل ۷۰ درصد استریل شد. قطعه بریده شده ۳ بار در Phosphate Buffered Saline, Gibco (PBS) با درجه حرارت ۳۷ درجه سانتی بیوتیک (۲۵۰ میکرو گرم بر میلی لیتر پنی سیلین و ۲۵۰ میکرو گرم بر میلی لیتر استریوتومایسین (Gibco)) شسته شد. این درم و هیپودرم با یک تیغ اسکالاپل برداشته و درم به قطعات کوچک (۲×۲ میلی متر) بریده شد. قطعات پوست ۲ بار با PBS شسته شد و در فلاسک ۲۲۵ سانتی متر (TPP) حاوی ۱۵ درصد FBS (Fetal Bovine Serum, Hyclone) و یک درصد آنتی بیوتیک کشت داده شد (پنی سیلین و استریوتومایسین). سلول‌ها در محیط مروطوب در دمای ۳۸ درجه سانتی گراد با ۵ درصد CO_2 قرار داده و محیط کشت هر ۳ روز یک بار تعویض داده شد.

زمانی که سلول‌ها بعد از ۱۰ روز کشت به Confluence رسیدند، قطعات بافتی برداشته شده سپس سلول‌ها با PBS شسته شدند. سلول‌ها توسط آنزیم تریپسین/EDTA (Gibco) از کف فلاسک جدا شده و در یک لوله سانتریفیوژ حاوی ۱۰ میلی لیتر محیط کشت با ۱۲۰۰ دور به مدت ۵ دقیقه سانتریفیوژ شدند. توده سلولی دوباره با ۱ میلی لیتر محیط کشت حاوی سرم مخلوط و بالام هماتوستومتر شمارش شدند. Cells/ml 5×10^5 در فلاسک‌های کشت ۲۲۵

یافته‌ها

تاثیر تیمار کاهش سرم و تراکم کامل سلولی بر سیکل سلولی به منظور ارزیابی تاثیر کاهش سرم و تراکم کامل سلولی بر سیکل سلولی، محتوای DNA توسط آنالیز FACS اندازه‌گیری و در صد نسبی سلول‌های موجود در مراحل G0/G1 (محتوای ۲٪ در صد نسبی) (C DNA)، S (2C-4C)، G2/M (4C DNA) محاسبه شد. جدول ۱ درصد سلول‌های در حال رشد را در فازهای مختلف سیکل سلولی نشان می‌دهد. زمانی که سلول‌ها با PI و FITC رنگ آمیزی شدند، محتوای DNA و پروتئین توسط FACS آنالیز شد. کاهش سرم به مدت ۴۸ ساعت ۸۴/۷۸ درصد سلول‌ها را در مرحله G0/G1 متوقف کرد. دوره طولانی تر کاهش سرم (۷۷ ساعت) نسبت سلول‌هایی را که در فاز G0/G1 بودند، افزایش داد (۹۰/۱۱ درصد) که هر دو گروه نسبت به گروه کنترل (سلول‌های در حال رشد نرمال) افزایش چشم‌گیری را در میزان سلول‌های این فاز نشان دادند ($p < 0.05$). کشت سلول‌ها تا تراکم و ۷۲ ساعت بعد از رسیدن به تراکم به ترتیب منجر به ورود ۸۰/۲۷ و ۹۱/۵۳ درصد سلول‌ها به فاز G0/G1 شد که این گروه‌ها نیز نسبت به گروه سلول‌های در حال رشد تفاوت چشم‌گیری داشتند ($p < 0.05$).

با استفاده از رنگ آمیزی دوتایی PI و FITC جمعیت‌های سلولی فاز G0 و G1 از هم تفکیک شدند. سلول‌های تراکم کامل به میزان بیشتری در فاز G1 سیکل سلولی بودند (۸۴/۲۹ درصد) در حالی که سلول‌هایی که کاهش سرم داشتند بیشتر در فاز G0 سیکل سلولی بودند (به ترتیب ۴۶/۳۵ و ۱۸/۲۶ درصد برای ۴۸ و ۷۲ ساعت) (شکل ۱).

تاثیر تیمار کاهش سرم و تراکم کامل سلولی بر تکثیر سلولی زمانی که دو رشته DNA برای همانندسازی از هم جدا می‌شوند به جای تیمیدین می‌نشینند. سلول‌هایی که دارای BrdU در DNA خود هستند به سرعت توسط آنتی‌بادی منوکلونال بر ضد آنتی‌بادی ثانویه متصل شده به فلوروکروم شناسایی می‌شوند.

هنگامی که سنتر DNA توسط BrdU و اینوفلورسنس مشخص شد (جدول ۲)، ۱۹/۸۰ درصد از سلول‌های در حال رشد (گروه کنترل) در فاز S بودند اما تغییر چشم‌گیری در میزان سلول‌های فاز S بین گروه‌های ۴۸ و ۷۲ ساعت کاهش سرم مشاهده شد (به ترتیب ۴/۸۶ و ۲/۹۹ درصد). تعداد سلول‌های موجود در فاز S در گروه تراکم سلولی و ۷۲ ساعت تراکم کامل سلولی به ترتیب ۵/۶۱ و ۳/۲۰ درصد بود که نسبت به گروه کنترل در حال رشد نرمال کاهش معنی داری را نشان داد ($p < 0.05$).

در هر ردیف بین حروف b-a، d-c، f-e و h-g از نظر آماری تفاوت معنی‌دار وجود دارد ($p < 0.05$).

مرحله مختلف سیکل سلولی (سلول‌های در حال رشد)	کنترل (سلول‌های در حال رشد)	سلول‌های confluence	کاهش سرم		سلول‌های تراکم کامل	
			۴۸ ساعت	۷۲ ساعت	۴۸ ساعت	۷۲ ساعت
G0	۴/۵۶ ± ۰/۴۲ ^a	۱۲/۷۹ ± ۰/۹۹ ^{b,c}	۱۸/۲۶ ± ۰/۴۸ ^{b,d,e}	۴۶/۳۵ ± ۰/۵۱ ^{b,d,f,g}	۷/۲۴ ± ۰/۴۳ ^{b,d,f,h}	
G1	۵۱/۸۸ ± ۲/۳۶ ^a	۶۷/۴۷ ± ۱/۱۱ ^{b,c}	۶۶/۵۲ ± ۰/۶۹ ^{b,e}	۴۳/۷۵ ± ۱/۵۰ ^{b,d,f,g}	۸۴/۲۹ ± ۱/۴۱ ^{b,d,f,h}	
S	۱۹/۰۱ ± ۰/۵۲ ^a	۲/۳۹ ± ۰/۱۴ ^b	۲/۶۷ ± ۱/۰۰ ^b	۱/۷۴ ± ۰/۳۷ ^b	۱/۸۳ ± ۰/۴۰ ^b	
G2/M	۲۳/۳۸ ± ۲/۵۵ ^a	۱۶/۰۴ ± ۰/۲۴ ^{b,c}	۱۱/۰۳ ± ۰/۷۹ ^b	۷/۷۷ ± ۲/۰۵ ^{b,d}	۶/۳۹ ± ۱/۱۷ ^{b,d}	

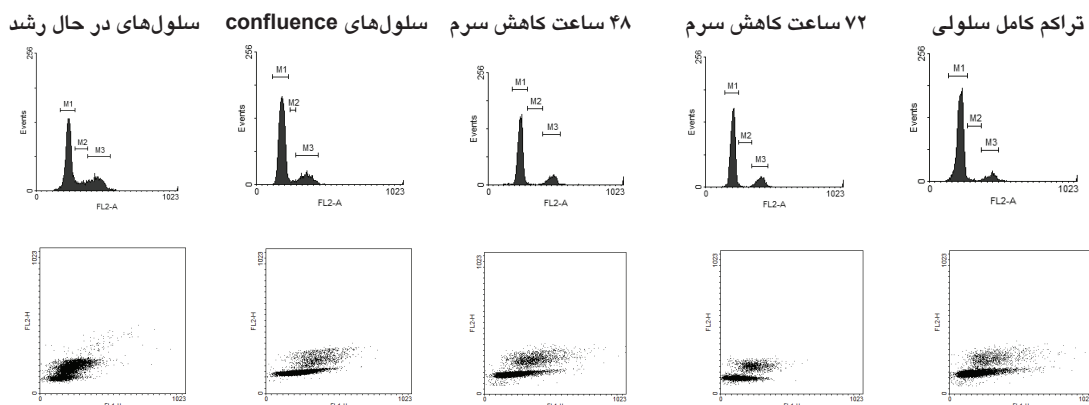
دمای ۴ درجه سانتی گراد به مدت ۳۰ دقیقه فیکس شدند. پس از شست و شو سلول‌ها توسط ۰/۱ درصد تریتون ۱۰۰× به مدت ۱۰ دقیقه نفوذپذیر شدند و به مدت ۱ ساعت در سرم ۱۰ درصد قرار گرفتند. پس از شست و شو سلول‌ها به مدت یک شب با anti BrdU IgG (Roche1) در دمای ۴ درجه سانتی گراد انکوبه شدند. سلول‌ها پس از شست و شو به مدت ۱ ساعت با Anti Mouse IgG-Fluorescein (Roche) انکوبه شدند. سلول‌ها با PBS شسته و با ۵ میکروگرم بر میلی لیتر PI رنگ آمیزی شدند. در نهایت اسلایدهای رنگ آمیزی شده زیر میکروسکوپ با عدسی ۴۰× مشاهده شدند. برای شمارش از هر نمونه حداقل ده عکس گرفته و برای هر نمونه حداقل تعداد ۱۰۰۰ سلول شمارش شد.

ارزیابی آپوپتوز با استفاده از Annexin V برای اندازه‌گیری آپوپتوز سلولی، از رنگ آمیزی ترکیبی (IQ Products) Annexin v v و PI استفاده شد. سلول‌ها با بافر کلسیم شسته و در محلول همراه با Annexin v سوسپانس شدند. بعد از ۲۰ دقیقه انکوباسیون در تاریکی در دمای ۴ درجه سانتی گراد، سلول‌ها در بافر کلسیم سوسپانس شده و به مدت ۱۰ دقیقه در دمای ۴ درجه سانتی گراد با محلول فلورسانس PI رنگ آمیزی شدند. سپس با استفاده از فلوزایتمتری آنالیز شدند. در طی مراحل اولیه آپوپتوز، فسفاتیدیل سرین به سطح خارجی غشا سلولی مهاجرت می‌کند. این مرحله به صورت اختصاصی توسط پروتئین‌های متصل شونده به فسفاتیدیل سرین (Annexin V-FITC) شناسایی می‌شود. در طی مراحل اولیه آپوپتوز غشا سلولی سالم است و از ورود PI جلوگیری می‌کند. با پیشرفت آپوپتوز غشا نسبت به PI نفوذپذیر شده و DNA هسته را رنگ می‌کند. درصد سلول‌های زنده، آپوپتوز اولیه و آپوپتوز نهایی با استفاده از نرم‌افزار Win MDI version ۲/۹ محاسبه شد.

آنالیز آماری

برای نرمال بودن نمونه‌ها از تست kolmogorov-smirnov استفاده شد. نمودارهای فلوزایتمتری سیکل سلولی و آپوپتوز با استفاده از نرم‌افزار Win MDI version ۲/۹ Win MDI version ۲/۹ اختلاف میانگین در صدها بین گروه‌های مختلف از روش ANOVA استفاده گردید. جهت بررسی اختلاف میانگین درصد به صورت دو به دو از تست Tukey و برای بررسی وجود اختلاف در روند آپوپتوز به تفکیک گروه‌ها از تست Repeated Measures استفاده شد.

تأثیر کاهش سرم بر سیکل سلولی

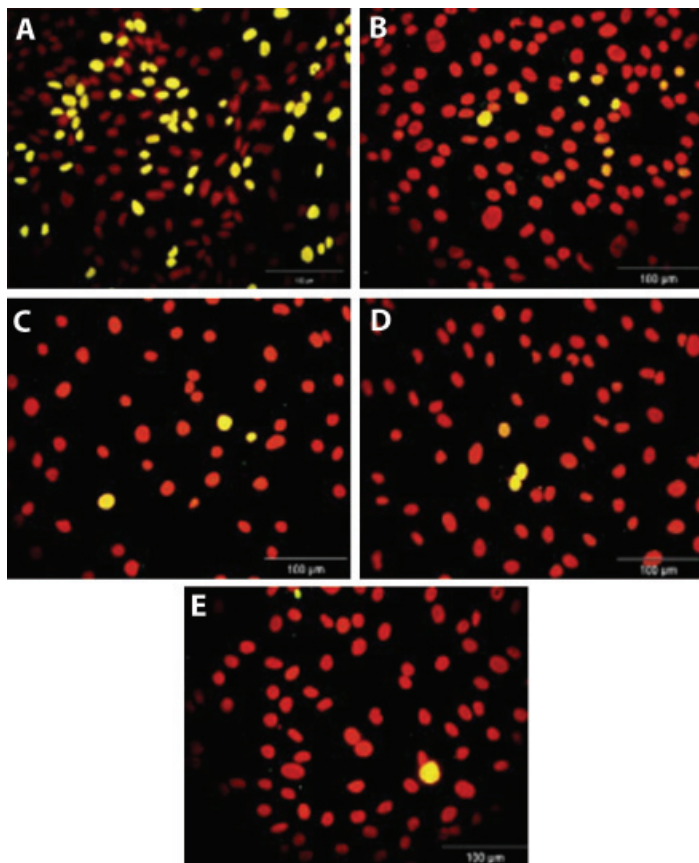


شکل ۱: توزیع مراحل مختلف سیکل سلولی توسط سیکل سلولی میان مراحل مختلف

زمانی که سلول‌ها به مدت ۴۸ ساعت، کاهش سرم داشتند ۸/۹۱ درصد سلول‌ها آپوپتوز اولیه و ۳/۵۹ درصد سلول‌ها آپوپتوز نهایی را نشان دادند. زمانی که کاهش سرم ۷۲ ساعت طول کشید، آپوپتوز اولیه به طور چشم‌گیری افزایش یافت (۳۹/۸۳ درصد آپوپتوز) ($P<0.05$). سلول‌هایی که به مدت ۷۲ ساعت تراکم کامل داشتند، آپوپتوز اولیه خیلی کمتری را نسبت به سلول‌های کاهش سرم نشان دادند (۶/۳۹ درصد).

گروه ۴۸ ساعت کاهش سرم نیز تفاوت معنی‌داری در میزان سلول‌های موجود در فاز S با گروه کنترل داشته است (شکل ۲).

تأثیر تیمار کاهش سرم و تراکم کامل سلولی بر آپوپتوز سلولی Annexin آپوپتوز را در تعداد کمی از سلول‌های در حال رشد نشان داد (۶/۶۷ درصد) در حالی که کاهش سرم، آپوپتوز سلولی را القا کرد. نتایج نشان می‌دهد درجه آپوپتوز با طول دوره کاهش سرم ارتباط دارد.



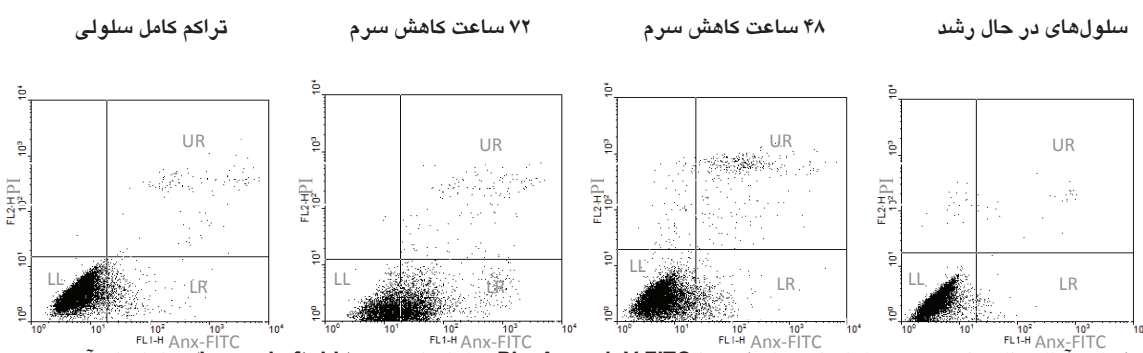
شکل ۲: شناسایی میزان سنتز DNA توسط BrdU با استفاده از عدسی $\times 40$. سلول‌هایی که در مرحله S سیکل سلولی هستند به رنگ سبز و سلول‌هایی که در مراحل دیگر سیکل سلولی هستند به رنگ قرمز دیده می‌شوند. (A) سلول‌های در حال رشد، (B) Confluence، (C) ۴۸ ساعت کاهش سرم، (D) ۷۲ ساعت کاهش سرم، (E) تراکم کامل سلولی.

جدول ۲: میانگین در صد (Mean \pm SE) سلول‌های موجود در مرحله S در پاسخ به تیمارهای مختلف

کنترل (سلول‌های در حال رشد)	سلول‌های confluence	کاهش سرم		سلول‌های تراکم کامل
		۴۸ ساعت	۷۲ ساعت	
تعداد سلول‌های موجود در فاز S	۱۹/۸۰ \pm ۰/۵۸ ^a	۵/۶۱ \pm ۰/۲۶ ^{b,c}	۴/۸۶ \pm ۰/۲۸ ^{b,e}	۲/۹۹ \pm ۰/۳۴ ^{b,d,f}

در هر ردیف بین حروف a, b, c, d, e, f و g از نظر آماری تفاوت معنی‌دار وجود دارد ($p < 0.05$).جدول ۳: میانگین در صد (Mean \pm SE) آپوپتوز اولیه و نهایی سلول‌های فیبروبلاستی در پاسخ به تیمارهای مختلف

کنترل (سلول‌های در حال رشد)	کاهش سرم		تراکم کامل سلولی	
	۴۸ ساعت	۷۲ ساعت	۴۸ ساعت	۷۲ ساعت
سلول‌های زنده	۹۰/۱۶ \pm ۳/۰ ^a	۸۷/۰۳ \pm ۲/۶۸ ^a	۵۸/۳۹ \pm ۲/۷۲ ^b	۹۰/۹۱ \pm ۱/۳۶ ^a
سلول‌های آپوپتوز اولیه	۶/۶۷ \pm ۲/۰۷ ^a	۸/۹۱ \pm ۲/۰۷ ^a	۳۹/۸۳ \pm ۲/۶۵ ^b	۶/۳۹ \pm ۱/۳۶ ^a
سلول‌های آپوپتوز نهایی	۲/۹۵ \pm ۱/۲۴	۳/۵۹ \pm ۰/۶۶	۱/۹۵ \pm ۰/۲۳	۲/۴۶ \pm ۰/۴۱

در هر ردیف بین حروف a و b از نظر آماری تفاوت معنی‌دار وجود دارد ($p < 0.05$).

شکل ۳: آنالیز فلوسایتومتری سلول‌های رنگ شده با AnnexinV-FITC و PI. سلول‌های زنده (Lower Left; LL) و سلول‌های آپوپتوز (Upper Right; UR) و سلول‌های آپوپتوزی که انسجام غشاء خود را از دست داده‌اند (Lower Right; LR).

به دست آمده از مطالعه ممبلی و همکاران بود (۲۱). در این مطالعه بیش از ۹۰ درصد فیبروبلاست‌های ترانس‌فکت شده بز در مرحله G0/G1 متوقف شدند. این سطوح هم‌زمانی به نظر می‌رسد بالاتر از آنچه توسط یو و همکاران به دست آمده باشد (۲۲) که در آن کاهش سرم به مدت ۱، ۳ و ۵ روز منجر به توقف به مدت ۱/۷۰٪، ۲/۷۰٪ و ۵/۸۳٪ درصد از سلول‌ها در مرحله G0/G1 سیکل سلولی شده است. کشت تا مرحله تراکم، روش دیگری برای وارد کردن سلول‌ها به مرحله G0/G1 در پاسخ به ازدحام جمعیت سلولی بود. در این مطالعه درصد بالایی از سلول‌های G0/G1 (۹۱/۵۳٪ درصد) با کشت به مدت ۷۲ ساعت پس از رسیدن به مرحله تراکم به دست آمد که مشابه با کاهش سرم به مدت ۷۲ ساعت بود. در مطالعه‌ای که توسط هایس و همکاران در سال ۲۰۰۵ انجام گرفت (۲۰)، تراکم فیبروبلاست‌های بالغ گاو به تنها برای القا درصد بالایی از سلول‌ها برای ورود به G0/G1 کافی بود. سلول‌های کشت شده تا مرحله تراکم به صورت موفقیت‌آمیز برای تولید بزرگ‌تر شیرده ترازیخته به کار رفته است (۲۳). تفاوت چشم‌گیری بین تیمارهای کاهش سرم و تراکم کامل سلولی در هم‌زمانی سیکل سلولی مراحل G0/G1 مشاهده نشد. با

تعداد سلول‌های مرحله نهایی آپوپتوز در هیچ کدام از گروه‌های تیماری تفاوت چشم‌گیری نداشتند (جدول ۳، شکل ۳).

بحث

فاکتورهای زیادی تکوین آزمایشگاهی جنین‌های بازسازی شده را تحت تاثیر قرار می‌دهد. یکی از مهم‌ترین این فاکتورها، هم‌زمانی سیکل سلولی بین هسته دهنده و سیتوپلاسم گیرنده است. هسته دهنده قبل از انتقال به تخمک بی‌هسته شده باید در فازهای G1 یا G0 سیکل سلولی باشد (۲۰). در این مطالعه از روش‌های معمول کاهش سرم و تراکم کامل سلولی برای توقف سلول‌ها در مرحله G0/G1 استفاده شد. مطالعه حاضر نشان داد که کشت تا مرحله تراکم کامل سلولی و کاهش سرم به مدت ۴۸ و ۷۲ ساعت با موفقیت فیبروبلاست‌های بز را در مرحله G0/G1 سیکل سلولی هم‌زمان کرده است. تاثیر هم‌زمانی کاهش سرم روی سیکل سلولی فیبروبلاست‌های بز با ۴۸ ساعت کشت در محیط ۰/۵ درصد سرم به دست آمد (۸۴/۷۸٪ درصد). دوره طولانی تر کاهش سرم (۷۲ ساعت) به میزان ۹۰٪ سلول‌ها را در مرحله G0/G1 متوقف کرد. این نتایج هم‌سو با نتایج

فقر سرم در کشت منجر به توقف سیکل سلولی فیروblast و همچنین آغاز تغییرات پیچیده و وسیع در سطح نسخه برداری می شود (۲۷). در این مطالعه فیروblast های بزرگ رشد نرمالی داشتند (کنترل)، میزان آپوپتوز کمی را نشان دادند در حالی که سلول ها پس از ۷۲ ساعت کاهش سرم افزایش چشم گیری در میزان آپوپتوز سلولی داشتند. این نتایج طابق با گزارش کیوس و همکاران بود که نشان داد کاهش سرم فیروblast های خوک بیش از ۴۸ ساعت نه تنها افزایشی در نسبت سلول های G0/G1 نداشت بلکه تأثیرات بدی بر حیات سلول ها و القاء آپوپتوز داشته است (۲۸). نتایج به دست آمده بر روی سلول های گرانولوزی گوسفند نیز تایید کننده نتایج این مطالعه است (۲۹).

گیسون و همکاران گزارش دادند که کاهش سرم سلول های کشت شده خوک و گاو برای حداقل ۴۸ ساعت، حیات سلول ها را کاهش داده و موجب افزایش DNA فرگمنته (از عالیم آپوپتوز) می شود (۳۰).

نتیجه گیری

مطالعه حاضر نشان داد که فیروblast های درمی بز به صورت مؤثر با استفاده از تیمارهای کاهش سرم و تراکم کامل سلولی در مراحل G0/G1 سیکل سلولی همزمان شدند که برای انتقال هسته ضروری سوماتیک در این گونه مفید می باشد. در حقیقت کشت سلول ها تا مرحله تراکم کامل، همان نتایج کاهش سرم به مدت ۷۲ ساعت را به دست آورد که تأثیر منفی روی حیات سلول ها داشته و آپوپتوز را به صورت چشم گیر افزایش داده است.

تقدیر و تشکر

این مطالعه بخشی از طرح تحقیقاتی مصوب در پژوهشکده رویان به شماره ۲۶۱ است که محل اجرای آن در بخش تحقیقات پژوهشکده رویان بوده است. نویسندها مراتب تقدیر و تشکر خود را از مساعدت های صمیمانه مسئولین محترم پژوهشکده رویان ابراز می دارند.

References

- Wilmut I, Schnieke AE, McWhir J, Kind AJ, Campbell KH. Viable offspring derived from fetal and adult mammalian cells. *Nature*. 1997; 385: 810-813.
- Campbell KH, Loi P, Otaegui PJ, Wilmut I. Cell cycle co-ordination in embryo cloning by nuclear transfer. *Rev Reprod*. 1996; 1: 40-46.
- Wolf E, Zakhartchenko V, Brem G. Nuclear transfer in mammals: recent developments and future perspectives. *J Biotechnol*. 1998; 65: 99-110.
- Campbell KH. Nuclear equivalence, nuclear transfer and the cell cycle. *Cloning*. 1999; 1: 3-15.
- Rideout WM 3rd, Eggan K, Jaenisch R. Nuclear cloning and epigenetic reprogramming of the genome. *Science*. 2001; 293: 1093-8.
- Kues WA, Anger M, Carnwarth JW, Paul D, Motlik J, Niemann H. Cell cycle synchronization of porcine fetal fibroblasts: effects of serum deprivation and reversible cell cycle inhibitors. *Biol Reprod*. 2000; 62: 412-419.
- Obach B, Wells D. Donor cells for nuclear cloning: many are called, but few are chosen. *Cloning Stem Cells*. 2002; 4: 147-68.
- Modiano JF, Ritt MG, Wojcieszyn J, Smith R 3rd. Growth arrest of melanoma cells is differentially regu-

این تیمارها اکثر سلول ها (بیش از ۸۰ درصد) در مرحله G0/G1 متوقف شدند.

از آنجا که سلول های خاموش، حاوی سطوح پایین پروتئین هستند (۲۴)، سطوح پروتئین سلولی را به اتفاق محتوای DNA با استفاده از رنگ آمیزی دوتایی PI و FITC اندازه گیری کردیم و دانستیم کاهش سرم، سطوح پروتئین سلولی را به طور چشم گیر کاهش می دهد. مطالعه حاضر نشان داد که گروه کاهش سرم به مدت ۷۲ ساعت حاوی ۵۶/۳۵ درصد سلول های موجود در مرحله G0 می باشد در حالی که تیمار ۷۲ ساعته کشت تراکم کامل سلولی ۷/۲۴ درصد سلول ها را در مرحله G0 نشان داده است. در نتیجه کاهش سرم کامل سلول های مرحله G0 را افزایش می دهد در حالی که کشت تراکم کاهش سرم کاهش سلول های دهنده ای که در مرحله خاموشی یا G1 هستند در جزئیات، مطالعه نشده است. اهمیت کاهش سرم سلول های دهنده در مقایسه که تولد دالی را خبر داد، بر جسته شد در حالی که بارداری و تولد های زنده بدون کاهش سرم از فیروblast های جنینی گزارش شده است (۹) و نشان می دهد کاهش سرم برای موفقیت انتقال هسته ضروری نیست. دلیل اصلی استفاده از سلول های G1 به عنوان دهنده، حضور سلول های آپوپتویک کمتر در جمعیت سلولی G1 و احتمال هم زمانی بهتر سیکل سلولی بین هسته G1 و سیتوپلاسم تخمک می باشد (۲۵).

نتایج ایمونوستیوژنی نتایج فلوراسیومتری را تایید کرد. به طوری که تعداد سلول های موجود در فاز S از سلول های در حال رشد به سمت سلول های تیمار شده با کاهش سرم و تراکم کامل سلولی کاهش یافت.

نسیر و همکاران گزارش دادند زمانی که پری ادیپوسیت های کشت شده در محیط حاوی ۱۰ درصد سرم بودند، کمتر از ۲ درصد سلول های آپوپتوز را نشان دادند در حالی که وقتی در محیط بدون سرم کشت شدند در صد سلول های آپوپتوز به ۱۰ درصد افزایش یافت (۲۶). استیس و همکاران نشان دادند که کاهش سرم ممکن است موجب افزایش آپوپتوز و نکروز سلول ها و همانندسازی نامناسب یا آسیب DNA شود.

lated by contact inhibition and serum deprivation. *DNA Cell Biol*. 1999; 18: 357-367.

- Cibelli JB, Stice SL, Golueke PJ, Kane JJ, Jerry J, Blackwell C, et al. Cloned transgenic calves produced from nonquiescent fetal fibroblasts. *Science*. 1998; 280: 1256-1258.
- Kasinathan P, Knott JG, Wang Z, Jerry DJ, Robl JM. Production of calves from G1 fibroblasts. *Nat Biotechnol*. 2001; 19: 1176-1178.
- Wells DN, Laible G, Tucker FC, Miller AL, Oliver JH, Xiang T, et al. Coordination between donor cell type and cell cycle stage improves nuclear cloning efficiency in cattle. *Theriogenology*. 2003; 59: 45-59.
- Larsen JK, Landberg G, Roos G. Detection of proliferating cell nuclear antigen. *Methods Cell Biol*. 2001; 63: 419-31.
- Smith EJ, Leone G, DeGregori J, Jakoi L, Nevins JR. The accumulation of an E2F-p130 transcriptional repressor distinguishes a G0 cell state from a G1 cell state. *Mol Cell Biol*. 1996; 16: 6965-76.
- Boquest AC, Day BN, Prather RS. Flow cytometric cell cycle analysis of cultured porcine fetal fibroblast cells. *Biol Reprod*. 1999; 60: 1013-9.
- Mills JC, Kim LH, Pittman RN. Differentiation to an

- NGF-dependent state and apoptosis following NGF removal both occur asynchronously in cultures of PC12 cells. *Exp Cell Res.* 1997; 231: 337-345.
16. Ruhl M, Sahin E, Johannsen M, Somasundaram R, Manski D, Riecken EO, et al. Soluble collagen VI drives serum-starved fibroblasts through S phase and prevents apoptosis via down-regulation of Bax. *J Biol Chem.* 1999; 274: 34361-34368.
 17. Kues WA, Carnwath JW, Paul D, Niemann H. Cell cycle synchronization of porcine fetal fibroblasts by serum deprivation initiates a nonconventional form of apoptosis. *Cloning Stem Cells.* 2002; 4: 231-243.
 18. Peng X, Maruo T, Matsuo H, Takekida S, Deguchi J. Serum deprivation-induced apoptosis in cultured porcine granulosa cells is characterized by increased expression of p53 protein, Fas antigen and Fas ligand and by decreased expression of PCNA. *Endocrinol.* 1998; 45: 247-253.
 19. Messam CA, Pittman RN. Asynchrony and commitment to die during apoptosis. *Exp Cell Res.* 1998; 238: 389-398.
 20. Hayes O, Ramos B, Rodriguez LL, Aguilar A, Badia T, Castro FO. Cell confluence is as efficient as serum starvation for inducing arrest in the G0/G1 phase of the cell cycle in granulose and fibroblast cells of cattle. *Anim Reprod Sci.* 2005; 87: 181-192.
 21. Memili E, Behboodi E, Overton SA, Kenney AM, Ócoin M, Zahedi A, et al. Synchronization of goat fibroblast cells at quiescent stage and determination of their transition from G0 to G1 by detection of cyclin D1 mRNA. *Cloning Stem Cells.* 2004; 6: 58-66.
 22. Yu YS, Sun XS, Jiang HN, Han Y, Zhao CB, Tan JH. Studies of the cell cycle of in vitro cultured skin fibroblasts in goats: work in progress. *Theriogenology.* 2003; 59: 1277-1289.
 23. Melican D, Butler R, Hawkins N, Chen LH, Hayden E, Destrempe M, et al. Effect of serum concentration, method of trypsinization and fusion/activation utilizing transfected fetal cells to generate transgenic dairy goats by somatic cell nuclear transfer. *Theriogenology.* 2005; 63: 1549-1563.
 24. Zetterberg A, Larsson O. Cell cycle progression and cell growth in mammalian cells: kinetic aspects of transition events. In: Hutchison C, Glover DM (eds.). *Cell cycle control.* New York: Oxford University Press; 1995: 206-227.
 25. Kurosaka S, Nagao Y, Minami N, Yamada M, Imai H. Dependence of DNA synthesis and in vitro development of bovine nuclear transfer embryos on the stage of the cell cycle of donor cells and recipient cytoplasts. *Biol Reprod.* 2002; 67: 643-647.
 26. Niesier CU, Urso B, Prins JB, Siddle K. IGF-1 inhibits apoptosis induced by serum withdrawal, but potentiates TNF- α -induced apoptosis, in 3T3-L1 preadipocytes. *J Endocrinol.* 2000; 167: 165-174.
 27. Stice SL, Gibbons J, Rzucidlo JR, Baile CA. Improvements in nuclear transfer procedures will increase commercial utilization of animal cloning. *Asian Aust J Anim Sci.* 2000; 13: 856-860.
 28. Kues WA, Anger M, Carnwath JW, Paul D, Motlik J, Niemann H. Cell cycle synchronization of porcine fetal fibroblasts: effects of serum deprivation and reversible cell cycle inhibitors. *Biol Reprod.* 2000; 62: 412-419.
 29. Sadeghian Nodushan F, Eimani H, Eftekhar Yazdi P, Sepehri H. Effect of serum starvation on proliferation, apoptosis and cell cycle stage in granulosa cell. *Yakhteh.* 2008; 10(Sup 1): 72-73.
 30. Gibbons J, Arat S, Rzucidlo J, Miyoshi K, Waltenburg R, Respass D, et al. Enhanced survivability of cloned calves derived from roscovitine treated adult somatic cells. *Biol Reprod.* 2002; 66: 895-900.